

ЛИТЕРАТУРА

1. Serizawa A., Kataoka I., Michiyoshi I. Turbulence structure of air-water bubbly flow.— Int. J. Multiphase Flow, 1975, vol. 2, p. 235.
2. Nakorvakov V. E. et al. Local characteristics of upward gas-liquid flows.— Int. J. Multiphase Flow, 1981, vol. 7, p. 63.
3. Исследование турбулентных течений двухфазных сред/Под ред. С. С. Кутателадзе. Новосибирск: изд. ИТФ СО АН СССР, 1973.
4. Бурдуков А. П., Валукина Н. В., Накоряков В. Е. Особенности течения газожидкостной пузырьковой смеси при малых числах Рейнольдса.— ПМТФ, 1975, № 4.
5. Кашинский О. Н., Малков В. А., Мухин В. А. Исследование начальной стадии отрыва пограничного слоя электродиффузионным методом.— Изв. СО АН СССР. Сер. техн. наук, 1976, № 8, вып. 2.
6. Арманд А. А. Сопротивление при движении двухфазной системы по горизонтальным трубам.— Изв. ВТИ, 1946, № 1.
7. Cagnet G., Lebouche M., Souhar M. Utilisation des techniques electrochimiques pour la mesure de frottement parietal dans les ecoulements diphasiques.— Houille blanche, 1978, N 5.
8. Бэтчелор Дж. Введение в динамику жидкости. М.: Мир, 1973.

УДК 517.946

МЕТАСТАБИЛЬНЫЕ СОСТОЯНИЯ В ПРОЦЕССАХ ПЕРЕНОСА, ОПИСЫВАЕМЫХ КВАЗИЛИНЕЙНЫМ ПАРАБОЛИЧЕСКИМ УРАВНЕНИЕМ

*К. А. Волосов, К. Б. Павлов, А. С. Романов,
И. А. Федотов*

(Москва)

1. В настоящее время широко обсуждаются решения квазилинейного параболического уравнения вида

$$(1.1) \quad \frac{\partial u}{\partial t} = \frac{\partial}{\partial x} \left(\left| \frac{\partial u}{\partial x} \right|^{n-1} \frac{\partial u}{\partial x} \right) - \gamma u^m \equiv Lu, \quad k, \gamma > 0, m \geq 0, kn > 1,$$

применяемого для описания различных нелинейных процессов переноса. Зависимость коэффициентов переноса и поглощения от переносимой величины u и ее градиента $\partial u/\partial x$ аппроксимируется здесь степенной функцией. В частности, при $n = 1$, $k \neq 1$ уравнение (1.1) совпадает с уравнением нелинейной теплопроводности, рассмотренным в [1]; при $k = 1$, $n \neq 1$ оно является уравнением переноса импульса в неньютоновской нелинейно вязкой жидкости [2], случай $k = 2$, $m = 0$ соответствует движению указанной электропроводной жидкости в ламинарном пограничном слое в поперечном магнитном поле [3]. В общем случае произвольных значений n , k , m уравнение (1.1) известно как уравнение турбулентной фильтрации [1, 4] с нелинейным стоком.

Существенной особенностью процессов переноса, описываемых уравнением (1.1), является возможность существования фронтальной поверхности $S(x, t) = 0$, которая разделяет область с $u(x, t) = 0$ и область пространственной локализации переносимой величины $u(x, t) > 0$ (см., например, [1—4]). Вид функции $S = S(x, t)$ в случае задачи Коши для уравнения (1.1) исследовался в работе [5], где вслед за [6, 7] показана возможность метастабильных состояний решения. При таком состоянии функция $S(x, t)$ в течение конечного промежутка времени $t \in [0, T]$ зависит только от координаты x , $S(x, t) \equiv S(x)$.

Метастабильные состояния возможны, в частности, при переходе с одного стационарного решения на другое стационарное решение. В этой связи показана возможность существования метастабильных состояний краевой задачи для уравнения (1.1) и даны оценки времени метастабильного состояния, которые подтверждены прямыми численными расчетами.

Рассмотрим уравнение (1.1) на множестве

$$(1.2) \quad G = R_- \times R_+ = \{(x, t) : x \in R_-, t \in R_+\},$$

где $R_+ = \{t : t \geq 0\}$, $R_- = \{x : x \leq 0\}$.

При этом обозначим через $\Omega = \{(x, t) \in G; u(x, t) > 0\}$ область локализации переносимой величины, $G \setminus \Omega = \{(x, t) \in G; u(x, t) = 0\}$. Граничное условие зададим монотонным и ограниченным:

$$(1.3) \quad u(0, t) = \varphi(t), \quad \varphi(t_2) \geq \varphi(t_1), \quad \text{если } t_2 > t_1, \quad U_0 = \max \varphi(t) < \infty.$$

Начальное условие будем считать финитным и заданным «естественным» образом:

$$(1.4) \quad u(x, 0) = u_0(x) = \begin{cases} A \left(1 - \frac{x}{x_0}\right)^{\frac{n+1}{kn-m}}, & x_0 < x \leq 0, \quad kn > m, \\ 0, & -\infty < x \leq x_0, \end{cases}$$

$$\text{где } A = \left[\frac{\gamma (kn - m)^{n+1} (-x_0)^{n+1}}{n(k+m)(kn+k)^n} \right]^{1/(kn-m)},$$

а функция $u(x, 0)$ удовлетворяет дифференциальному уравнению $Lu_0 = 0$. Будем считать, что в области Ω производная $\partial u^k / \partial x \geq 0$; при этом условии уравнение (1.1) записывается в виде

$$(1.5) \quad \frac{\partial u}{\partial t} - \frac{\partial}{\partial x} \left(\frac{\partial u^k}{\partial x} \right)^n + \gamma u^m = 0.$$

Покажем, что решение задачи (1.3)–(1.5) метастабильно локализовано и время метастабильной локализации T удовлетворяет неравенству

$$T \geq \frac{U_0^{kn-m}}{A_1^{kn-1}} \frac{(k+m)(kn-1)^n}{\gamma(k+1)(kn-m)^{n+1}}, \quad \text{если } m \in [1, kn], \quad A_1(k, n, t_0, x_0) = \text{const.}$$

Сначала докажем, что решение задачи (1.3)–(1.5) метастабильно локализовано, если $m \in [1, kn]$. Для этого рассмотрим вспомогательную задачу для уравнения вида

$$(1.6) \quad \frac{\partial \omega}{\partial t} - \frac{\partial}{\partial x} \left(\frac{\partial \omega^k}{\partial x} \right)^n = 0$$

с начальным условием

$$(1.7) \quad \omega(x, 0) = A_1 (1 - x/x_0)^{(n+1)/(kn-1)}, \quad x \in [x_0, 0]$$

и граничным условием

$$(1.8) \quad \omega(0, t) = A_1 (1 - t/t_0)^{-1/(kn-1)},$$

$$A_1 = \left\{ \left[\frac{kn-1}{kn+k} \right]^n \frac{(-x_0)^{n+1}}{n(k+1)t_0} \right\}^{\frac{1}{kn-1}}, \quad \omega(x_0, t) = 0, \quad \left(\frac{\partial \omega^k}{\partial x} \right)^n(x_0, t) = 0.$$

Решение вспомогательной задачи (1.6)–(1.8) имеет вид [6]

$$(1.9) \quad \omega(x, t) = \begin{cases} A_1 \left[\left(1 - \frac{x}{x_0}\right)^{n+1} \left(1 - \frac{t}{t_0}\right)^{-1} \right]^{\frac{1}{kn-1}}, \\ 0, \end{cases}$$

где $t \in [0, t_0]$, $x \in [x_0, 0]$. Как видно, решение (1.9) метастабильно локализовано при $t \in [0, t_0]$. В силу монотонной зависимости решения $u(x, t)$ задачи (1.3)–(1.5) от начального и граничного условия и величины $\gamma > 0$ функция (1.9) мажорирует решение этой задачи при соответствующем задании параметра t_0 , которое следует из сопоставления $U_0 = A$ и A_1 . Следовательно, решение задачи (1.3)–(1.5) метастабильно локализовано, если $m \in [1, kn]$.

Из сравнения граничных условий (1.3), (1.8) может быть получена оценка снизу времени метастабильной локализации в задаче (1.3)–(1.5)

$t \in [0, T], T \geq t_0$:

$$(1.10) \quad T \geq t_0 = \left(\frac{U_0^{kn-m}}{A_1^{kn-1}} \right) \frac{(k+m)(kn-1)^n}{\gamma(kn-m)^{n+1}(k+1)}.$$

С помощью теорем сравнения [8] можно показать, что граница области локализации в задаче (1.3)–(1.5) обязательно приходит в движение $S(x, t) \neq S(x)$ при $t > t_0$, т. е. решение задачи действительно является метастабильным. Наиболее просто это сделать в случае $\gamma = 0$. Для этого рассмотрим краевую задачу для уравнения (1.6) для функции $\omega_1 = \omega_1(x, t)$ с граничным и начальным условиями

$$(1.11) \quad \omega_1(x, 0) = 0, \quad \omega_1(0, t) = U_1 = \text{const} > 0, \quad U_1 < \min \varphi(t).$$

Краевая задача (1.6), (1.11) $\gamma = 0$ автомодельна [9]. Если ввести автомодельную переменную $\eta = x/x_f(t)$, где $x_f(t)$ — граница носителя решения, определяемая уравнением $S(x_f(t), t) = 0$, и новую зависимую переменную $\omega_1 = U_1 f_1(\eta)$, то задача (1.5), (1.11) сводится к следующей:

$$(1.12) \quad \beta \eta \frac{df_1}{d\eta} + \frac{d}{d\eta} \left[\text{sign } x_f \frac{df_1^k}{d\eta} \right]^n = 0, \quad \eta \in [0, 1], \quad f_1(0) = 1, \quad f_1(1) = 0.$$

Из условия автомодельности имеем

$$x_f = -[(n+1)\beta U_1^{kn-1} t]^{1/(n+1)}.$$

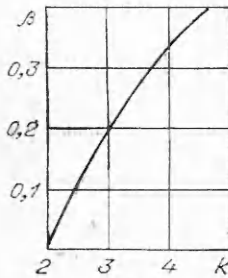
Постоянную $\beta > 0$ в задаче (1.12) находим из условия отсутствия потока на фронте $df_1^k(1)/d\eta = 0$. Результаты численного расчета параметра $\beta = \beta(k, n)$ в частном случае $n = 1$, полученные методом коллокации после предварительной квазилинеаризации, приведены на фиг. 1.

В силу теорем сравнения [8] выполняются неравенства $u(x, t) > \omega_1(x, t)$, $U_1 < \min \varphi(t)$. Поэтому из неравенства $x_f(t_1) \leq x_0$ следует оценка сверху для времени метастабильной локализации решения $T \leq t_1 = (-x_0)^{n+1} / \beta(n+1) U_1^{kn-1}$.

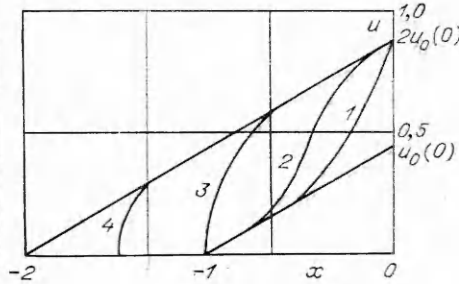
Существование метастабильных состояний для функции $\omega_2 = \omega_2(x, t)$ в случае $\gamma \neq 0$ может быть показано при численном решении краевой задачи, составленной из уравнения (1.6), условий

$$(1.13) \quad \omega_2(0, t) = \psi(t), \quad \psi(t_2) \geq \psi(t_1), \quad \text{если } t_2 > t_1, \quad \varphi(t) > \psi(t)$$

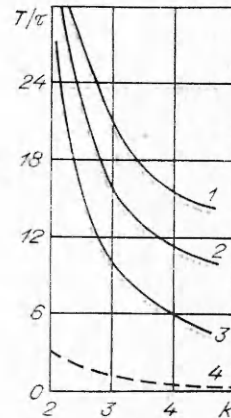
и начального условия (1.4). В силу теоремы сравнения по начальным и граничным условиям решение задачи (1.3)–(1.5) мажорирует сверху решение задачи (1.4), (1.5), (1.13) $u(x, t) \geq \omega_2(x, t)$. Если $k > 1 + 1/n$, то численное решение задачи (1.4), (1.5), (1.13) показывает, что при временах $t > T$ фронт слабого разрыва приходит в движение. Следовательно, решение задачи (1.3)–(1.5) является метастабильным.



Фиг. 1



Фиг. 2



Фиг. 3

2. Для подтверждения полученных оценок проведены численные расчеты. При этом использовалась неявная разностная схема [10]. Положение фронта определялось приближенно там, где решение становилось порядка ошибки вычислений. Шаги по времени τ и по пространству h задавались соответственно равными 0,0364; 0,04. На фиг. 2 в качестве примера показана эволюция решения задачи (1.3)—(1.5) при $n = 3$, $k = 2$, $\gamma = 1$, $m = 2$, $x_0 = -1$, $\varphi(t) = 2u_0(0) = 0,878$ (кривые 1—4 соответствуют $t = \tau$, $t = 3\tau$, $t = T = 10\tau$, $t = 20\tau$). Из приведенного графика видно, что момент начала движения поверхности может быть определен с точностью $O(h)$ по изменению производной $\partial u/\partial x$ при $x \rightarrow x_f(t)_{+0}$. При $t \rightarrow \infty$ решение переходит в новое стационарное, соответствующее измененному граничному условию.

Ясно, что время существования метастабильного режима T существенно зависит от вида функции $\varphi(t)$ при одних и тех же $\varphi(0)$ и $\varphi(\infty)$. В этой связи были проведены расчеты времени метастабильного состояния T для различных $\varphi = \varphi(t)$. Результаты этих расчетов приведены на фиг. 3 для $n = 1$, $\gamma = 1$, $m = 1$, $x_0 = -1$. Кривые 1—3 соответствуют следующим граничным условиям:

$$\varphi(t) = \begin{cases} u_0(0) \left(1 + \frac{t}{4}\right), & t \in \Gamma, \\ 2u_0(0), & t \in \bar{\Gamma}; \end{cases}$$

$$\varphi(t) = \begin{cases} u_0(0) \exp\left(\frac{\tau t}{4h}\right), & t \in \Gamma, \\ 2u_0(0), & t \in \bar{\Gamma}; \end{cases}$$

$$\varphi(t) = 2u_0(0), \quad t \in \Gamma,$$

где $\Gamma = \{t : t > 0, \varphi(t) < 2u_0(0)\}$. Штриховая кривая на фиг. 2 соответствует оценке времени метастабильного состояния по соотношению (1.10). Все численные расчеты находятся в хорошем соответствии с полученными оценками и подтверждают качественный анализ проблемы.

Поступила 16 IX 1981

ЛИТЕРАТУРА

1. Зельдович Я. Б., Компанец А. С. К теории распространения тепла при теплопроводности, зависящей от температуры.— В кн.: К 70-летию А. Ф. Иоффе. М.: Изд. АН СССР, 1950.
2. Уилкинсон У. Л. Неньютоновские жидкости. М.: Мир, 1964.
3. Павлов К. Б. О магнитогидродинамическом течении несжимаемой вязкой жидкости, вызванной деформацией плоской поверхности.— Магнитн. гидродинамика, 1974, № 4.
4. Баренблатт Г. И. О некоторых неустановившихся движениях жидкости и газа в пористой среде.— ПММ, 1952, т. 16, № 1.
5. Павлов К. Б., Романов А. С. Об изменении области локализации возмущений в процессах нелинейного переноса.— Изв. АН СССР. МЖГ, 1980, № 6.
6. Самарский А. А., Змитренко П. Б., Курдюмов С. П., Михайлов А. П. Эффект метастабильной локализации тепла в среде с нелинейной теплопроводностью.— ДАН СССР, 1975, т. 223, № 6.
7. Каланников А. С. О характере распространения возмущений в задачах нелинейной теплопроводности с поглощением.— ЖВММФ, 1974, т. 14, № 4.
8. Покровский Л. Д., Тараненко С. Н. Пространственная локализация решений нелинейных уравнений параболического типа.— В кн.: Сборник трудов кафедры высшей математики, посвященный 150-летию МВТУ, 1980, № 336.
9. Баренблатт Г. И. Об автомодельных движениях сжимаемой жидкости в пористой среде.— ПММ, 1952, т. 16, № 6.
10. Самарский А. А. Теория разностных схем. М.: Наука, 1977.